

طراحی بهینه هسته در سازه‌های لانه زنبوری تحت بار فشاری

غلامحسین لیاقت^۱، حبیب‌الله سرایلو^۲

۱- استاد بخش مکانیک، دانشکده فنی و مهندسی، دانشگاه تربیت مدرس

۲- کارشناس ارشد، بخش مکانیک، گروه هوافضا، دانشکده فنی و مهندسی، دانشگاه تربیت مدرس

*تهران، صندوق پستی ۱۴۱۱۵-۲۱۷

Ghlia530@modares.ac.ir

(دریافت مقاله: شهریور ۱۳۸۷، پذیرش مقاله: شهریور ۱۳۸۵)

چکیده- ساختار پانل‌های لانه زنبوری متشکل از سلول‌های شش‌ضلعی میان تهی است که دیوار آنها به خلاف سایر پانل‌های ساندویچی، عمود بر صفحات پوسته قرار می‌گیرد و طراحی آنها اغلب بر مبنای وزن کمینه انجام می‌شود. در این مقاله، ابعاد هسته لانه زنبوری به‌گونه‌ای محاسبه شده تا کمترین وزن را داشته باشد. بهینه‌سازی وزن نسبت به بارگذاری از دو روش تحلیلی و عددی انجام شده است. بهینه‌سازی عددی به روش برنامه‌ریزی درجه دوم متواالی انجام شده است. پارامترهای هندسی و وزن بهینه برای دو مقطع شش‌ضلعی و چهارضلعی محاسبه و وزن بهینه ناشی از آنها مقایسه شده است.

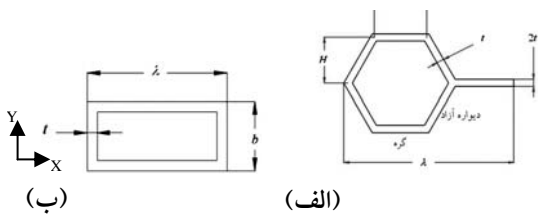
کلید واژگان: سازه لانه‌زنبوری، وزن کمینه، پانل ساندویچی، بهینه‌سازی عددی، برنامه‌ریزی درجه دوم متواالی.

در این مقاله وزن بهینه سلول لانه زنبوری محاسبه شده است. این کار برای شکل‌های مختلف شش‌ضلعی و چهارضلعی - که تحت بارگذاری محوری فشاری قرار دارد - انجام شده است (شکل ۱). بهینه‌سازی عددی با روشی مبتنی بر الگوریتم برنامه‌ریزی درجه دوم متواالی^۱ انجام شده است. به تازگی از این روش بهینه‌سازی توسط تیان^۲ و لیو^۳ برای طراحی بهینه پانل‌های کرکره‌ای^۴ استفاده شده است [۵]. حداقل وزن هسته به هندسه آن بستگی دارد به‌گونه‌ای که در هیچ جای آن تسلیم، کمانش موضعی و کمانش

۱- مقدمه

لانه زنبوری به سازه‌ای گفته می‌شود که از چیده شدن سلول‌های باز (میان تهی) در کنار هم به وجود می‌آید. این سلول‌ها از اتصال ورق‌های بسیار نازکی از ماده‌ای خاص به‌یکدیگر تشکیل شده و شکل‌های مختلفی دارند. معروف‌ترین آنها عبارتند از شش‌ضلعی، مستطیلی و دایره‌ای [۱-۳]. در طی سال‌های بسیاری سازه‌های ساندویچی با هسته سبک، پیشنهادی متداول برای سازه‌های تحت فشار بوده است [۴]. بدلیل صرفه‌جویی در هزینه تولید یا داشتن وزن مناسب در سازه پانل‌های ساندویچی، طراحی آنها بر اساس حداقل وزن اهمیت ویژه‌ای دارد [۵].

1. Sequential Quadratic Programming (SQP)
2. Tian
3. Lu
4. Corrugated Panels



شکل ۲ پارامترهای هندسی ابعاد مقاطع: (الف) مقطع شش ضلعی؛ (ب) مقطع چهارضلعی

ممان اینرسی هسته موردنظر حول محور X از رابطه زیر به دست می‌آید:

$$I = \frac{4H^4}{2\lambda} \sqrt{4H^4 + (\lambda - 4b)^4} + \frac{4btH^4}{\lambda} \quad (1)$$

مساحت سطح مقطع بر واحد عرض به صورت زیر محاسبه می‌شود:

$$A = \frac{4t\sqrt{4H^4 + (\lambda - 4b)^4}}{\lambda} + \frac{4bt}{\lambda} \quad (2)$$

و وزن کل هسته بر واحد عرض عبارت است از:

$$W = \rho L \left(\frac{4t\sqrt{4H^4 + (\lambda - 4b)^4}}{\lambda} + \frac{4bt}{\lambda} \right) \quad (3)$$

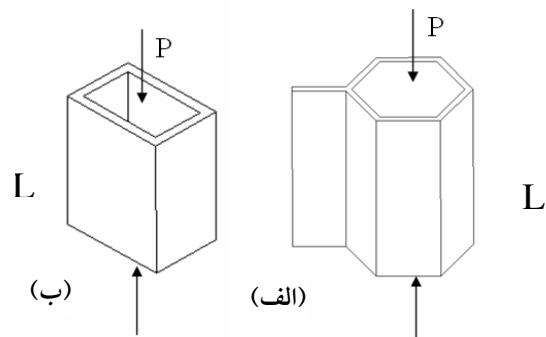
در طراحی بهینه شرایط تکیه‌گاهی دو طرف هسته (در جهت ارتفاع L) به صورت غلتکی^۱ در نظر گرفته شده است. وزن هسته با توجه به شرایط مرزی و با تنش حداکثر $\sigma = \frac{P}{A}$ باید کمینه شود، بهنحوی که هیچ‌یک از چهار حالت واماندگی^۲ که در زیر آورده شده اتفاق نیافتد.

۱-۲- کمانش کلی

جایی از هسته دچار کمانش کلی^۳ نمی‌شود، اگر [۷، ۶]:

2. Simply Supported
3. Failure
4. Overall Buckling

کلی اتفاق نیافتد. در این مقاله پارامترهای هندسی بهینه متناظر با حداقل وزن هسته محاسبه و نتایج به دست آمده از روش برنامه‌ریزی درجه دوم متوالی با نتایج روش تحلیلی مقایسه شده است. روش تحلیلی اولین بار توسط جراراد ارائه شد^۴ [۴] که در اینجا برای استفاده در هسته‌های لانه زنبوری تغییراتی در آن ایجاد شده است.



شکل ۱ شکل‌های مختلف هسته لانه زنبوری با ارتفاع L تحت فشار یکنواخت: (الف) هسته شش ضلعی؛ (ب) هسته چهارضلعی

۲- روش طراحی

در شکل ۲ پارامترهای هندسی که مقاطع موردنظر را به طور کامل تعریف می‌کنند، مشخص شده است. در این بخش بهینه‌سازی و معادلات مربوط به مقطع شش ضلعی آورده شده است (شکل ۲-الف).

فرض شده که سلول لانه زنبوری تحت بارگذاری فشاری P (بر واحد عرض) قرار دارد. λ به عنوان عرض هسته در نظر گرفته شده است. هسته از ماده‌ای با چگالی وزنی ρ، مدول الاستیسیته E، ضریب پواسون ν و تنش تسلیم σ_y ساخته شده است.

1. Gerard

۳- روش بهینه‌سازی

بار محوری P و ارتفاع هسته L ، مقادیر مشخصی فرض شده

است. بار بی‌بعد به صورت $\bar{P} = \frac{P}{EL}$ و ابعاد هندسی بی‌بعد به صورت $\bar{H} = \frac{H}{L}$ ، $\bar{\lambda} = \frac{\lambda}{L}$ ، $\bar{t} = \frac{t}{L}$ ، $\bar{b} = \frac{b}{L}$ تعریف شده است. وزن بی‌بعد نیز با رابطه زیر تعریف می‌شود.

$$\bar{W} = \frac{W}{\rho L^3} = \sqrt[4]{\left(\frac{H}{\lambda}\right)^2 + \left(1 - \frac{b}{\lambda}\right)^2} + \sqrt[4]{\frac{b}{\lambda}} \quad (8)$$

۱-۳- بهینه‌سازی تحلیلی

در بهینه‌سازی تحلیلی، وزن سازه با در نظر گرفتن تمامی مودهای واماندگی به طور همزمان باید کمینه شود [۴]. تنش کمانش کلی، کمانش موضعی دیوار آزاد σ_a و کمانش موضعی گره σ_r مودهای واماندگی را برای طراحی بهینه این روش در محدوده الاستیک تشکیل می‌دهند. در روش تحلیلی، معادله‌های زیر برای بهینه‌سازی وزن باید حل شود:

$$\sigma_a = \frac{\pi^r EI}{Al^r} \quad (9-الف)$$

$$\sigma_r = \frac{\pi^r E}{12(1-\nu^r)} \left(\frac{t}{\sqrt[4]{4H^r + (\lambda - 2b)^r}} \right)^r K_c^r \quad (9-ب)$$

$$\sigma_r = \frac{\pi^r E}{12(1-\nu^r)} \left(\frac{t}{b} \right)^r K_c^r \quad (9-ج)$$

با توجه به دستگاه معادلات فوق باید پارامترهای هندسی بر حسب بارگذاری بی‌بعد و یکی از پارامترهای ابعادی محاسبه شده و با جاگذاری در رابطه (۸) و کمینه‌سازی آن، مقدار بهینه وزن و پارامترهای هندسی به دست آید. برای قابل حل بودن

دستگاه فوق باید $\frac{b}{\lambda}$ و $\frac{H}{\lambda}$ به طور مستقل تعریف شود.

معادلات (۱۰) رابطه \bar{t} و $\bar{\lambda}$ بر حسب $\frac{H}{\lambda}$ و $\frac{b}{\lambda}$ و

همچنین رابطه بین $\frac{b}{\lambda}$ و $\frac{H}{\lambda}$ را نشان می‌دهند:

$$\sigma \leq \sigma_a = \frac{\pi^r EI}{Al^r} \quad (4)$$

۲-۲- کمانش موضعی در دیوار آزاد

با برقراری رابطه زیر برای تنش در دیوار آزاد، کمانش موضعی^۱ اتفاق نمی‌افتد [۶]:

$$\sigma \leq \sigma_r = \frac{\pi^r E}{12(1-\nu^r)} \left(\frac{t}{\sqrt[4]{4H^r + (\lambda - 2b)^r}} \right)^r K_c^r \quad (5)$$

ضریب K_c به شرایط تکیه‌گاهی دیوار آزاد سلول بستگی دارد. در پانل‌های کرکره‌ای برای ورقه‌هایی از هسته - که دارای گوشه هستند و از یک نقطه با پوسته در تماس هستند - شرایط مرزی دوطرف ورق به صورت غلتکی در نظر گرفته شده است. بنابراین در محاسبات حاضر $k_c^r = 4$ قرار داده می‌شود. تأثیر شرایط مرزی اعمال شده بر نتایج بهینه‌سازی معمولاً کوچک است [۵].

۳-۲- کمانش موضعی در گره

با برقراری رابطه زیر برای تنش در گره سلول کمانش موضعی اتفاق نمی‌افتد [۶]:

$$\sigma \leq \sigma_r = \frac{\pi^r E}{12(1-\nu^r)} \left(\frac{t}{b} \right)^r K_c^r \quad (6)$$

۴-۲- تنش تسلیم

تشنج تسلیم در هیچ جایی از هسته رخ نمی‌دهد، اگر:

$$\sigma \leq \sigma_r \equiv \sigma_y \quad (7)$$

در بهینه‌سازی حاضر کمانش در محدوده غیرالاستیک^۲ ملاحظه نشده است.

1. Local Buckling
2. Inelastic

$$\bar{t}^* = \frac{\left(\frac{H}{\lambda} \right)^* + \left(1 - \frac{b}{\lambda} \right)^* \times \frac{4(1-\nu)}{4\pi^* K_c^*}}{\left(\frac{H}{\lambda} \right)^* \left(\sqrt{\left(\frac{H}{\lambda} \right)^* + \left(1 - \frac{b}{\lambda} \right)^*} + \frac{b}{\lambda} \right) \left(\sqrt{\left(\frac{H}{\lambda} \right)^* + \left(1 - \frac{b}{\lambda} \right)^*} + \frac{b}{\lambda} \right)} \times \bar{p} \quad (10\text{-الف})$$

$$\bar{\lambda} = \left[\frac{1/225 \times \sqrt{K_c}}{\pi(1-\nu)^*} \times \frac{\left(\sqrt{\left(\frac{H}{\lambda} \right)^* + \left(1 - \frac{b}{\lambda} \right)^*} + \frac{b}{\lambda} \right)^*}{\left(\frac{H}{\lambda} \right)^* \left(\sqrt{\left(\frac{H}{\lambda} \right)^* + \left(1 - \frac{b}{\lambda} \right)^*} + \frac{b}{\lambda} \right)^* \left(\sqrt{\left(\frac{H}{\lambda} \right)^* + \left(1 - \frac{b}{\lambda} \right)^*} + \frac{b}{\lambda} \right)^*} \right]^{\frac{1}{4}} \sqrt{p} \quad (10\text{-ب})$$

$$\left(\frac{H}{\lambda} \right)^* = \left(\frac{b}{\lambda} \right) - \frac{1}{4} \quad (10\text{-ج})$$

۲-۳- بهینه‌سازی عددی

در این روش تنش σ باید در حدی باشد که تمامی معیارهای واماندگی شامل کمانش کلی، کمانش موضعی دیوار آزاد، کمانش موضعی گره و تنش تسلیم در محدوده امن قرار گیرند. در این روش بهینه‌سازی با تابع هدف وزن و توابع قید (۴) تا (۷) انجام شده است. حالت بی‌بعد قیود در اینجا آورده می‌شود:

$$\frac{1}{\pi^*} \frac{p}{EL} \frac{l^*}{I} - 1 \leq. \quad (15\text{-الف}) \quad \text{حالت ۱-۲}$$

$$\frac{p}{EL} \frac{1/(1-\nu)}{\pi^* K_c^*} \frac{A}{L} \left(\frac{\sqrt{4H^* + (\lambda - b)^*}}{\sqrt{t}} \right)^* \leq 1 \quad (15\text{-ب}) \quad \text{حالت ۲-۲}$$

$$\frac{p}{EL} \frac{1/(1-\nu)}{\pi^* K_c^*} \frac{A}{L} \left(\frac{b}{t} \right)^* \leq 1 \quad (15\text{-ج}) \quad \text{حالت ۳-۲}$$

$$\frac{p}{EL} \times \frac{E}{\sigma_y} \times \frac{1}{A} - 1 \leq. \quad (15\text{-د}) \quad \text{حالت ۴-۲}$$

مسئله بهینه‌سازی فوق مسئله‌ای با تابع هدف و قیود غیرخطی است [۸] تا [۱۰]. برای حل این مسئله از روش تقریب درجه دوم متواالی، با نرم‌افزار متلب^۱ استفاده شده است. باید توجه داشت که این روش بهینه‌سازی نیز مانند

با جاگذاری روابط فوق در رابطه (۸) تابع وزن به صورت تابعی از بارگذاری بی‌بعد و $\frac{b}{\lambda}$ به دست می‌آید.

$$\bar{W} = f\left(\frac{b}{\lambda}, \bar{p}\right) \quad (11)$$

با فرض مشخص بودن \bar{p} و کمینه‌سازی \bar{W} مقدار بهینه $\frac{b}{\lambda}$ به دست می‌آید و سپس می‌توان نسبت بهینه را برای $\frac{H}{\lambda}$ محاسبه کرد:

$$\frac{b}{\lambda} = \frac{1}{3} \quad (12)$$

$$\frac{H}{\lambda} = \frac{1}{2\sqrt{3}} \quad (13)$$

با توجه به روابط (۱۲)، (۱۳) و جاگذاری آنها در روابط (۱۰) مقدار کمینه برای وزن هسته را می‌توان به صورت تابعی از بار بی‌بعد به دست آورد:

$$\frac{W}{\rho L^*} = \alpha \sqrt{\frac{p}{EL}} \quad (14)$$

در رابطه فوق برای مقطع شش‌ضلعی، $\alpha = 0.894$ به دست می‌آید. با جاگذاری (۱۲) و (۱۳) در روابط (۱۰) مقادیر بهینه ابعاد هسته به دست می‌آید.

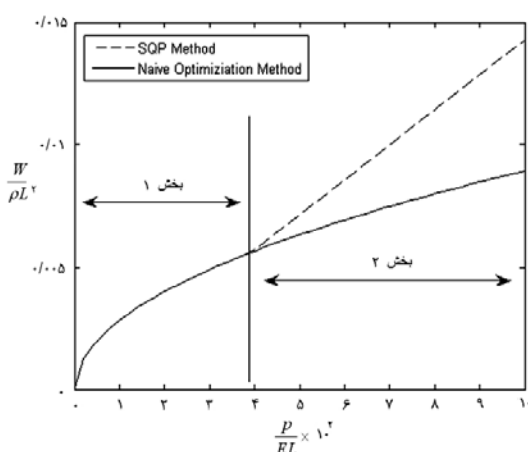
$$\frac{P}{EL} \times \frac{1}{\epsilon_y} \times \left(\frac{1}{2t(1 + \frac{\bar{b}}{\lambda})} \right) - 1 \leq 0 \quad \text{تسليم} \quad (17-\text{د})$$

سایر روش‌های بهینه‌سازی کلاسیک، جواب‌های محلی را تضمین می‌کند [۸]. بنابراین باید حدس اولیه را تا حد ممکن نزدیک به جواب واقعی در نظر گرفت.

۵- نتایج و بحث

برای هسته‌ای با مقطع شش‌ضلعی وزن کمینه بی‌بعد، حاصل از روش‌های تحلیلی و عددی در شکل ۳ بر حسب بار بی‌بعد نشان داده شده است. فرض شده که

$$\text{کرنش تسليم ماده} = \frac{\sigma_y}{E} = 0.007 \text{ است.}$$



شکل ۳ تغییرات \bar{W} بر حسب بار وارد شده بی‌بعد، از

روش تحلیلی و روش SQP

قبل از اینکه بارگذاری به حد تنیش تسليم برسد، وزن کمینه بر طبق رابطه (۱۴) با بارگذاری بی‌بعد در ارتباط است. به دلیل دقت خوبی که در روش عددی وجود داشت، در هر دو روش $\alpha = 0.894$ به دست آمده است. لازم است ذکر شود که در [۵] این روش با نرم‌افزار IMSL پیاده‌سازی شده و مقدار این ضریب بین دو روش در حدود $3/5$ درصد اختلاف دارد.

۶- مقطع چهارضلعی

برای بهینه‌سازی وزن و ابعاد مقطع چهارضلعی فقط از

روش برنامه‌ریزی درجه دوم استفاده شده است.

خواص مقطع چهارضلعی عبارتند از:

$$A = 2t(1 + \frac{b}{\lambda}) \quad (16-\text{الف})$$

$$I = 2 \left[\frac{1}{12} tb^2 \left(\frac{b}{\lambda} \right) + \frac{1}{4} tb^2 \right] \quad (16-\text{ب})$$

$$W = \rho L A = 2\rho L t(1 + \frac{b}{\lambda}) \quad (16-\text{ج})$$

معیارهای طراحی عبارتند از:

(الف) کمانش کلی

$$\frac{1}{\pi} \times \frac{P}{EL} \times \frac{1}{\sqrt{\frac{1}{12} t b^2 \left(\frac{b}{\lambda} \right) + \frac{1}{4} t b^2}} - 1 \leq 0. \quad (17-\text{الف})$$

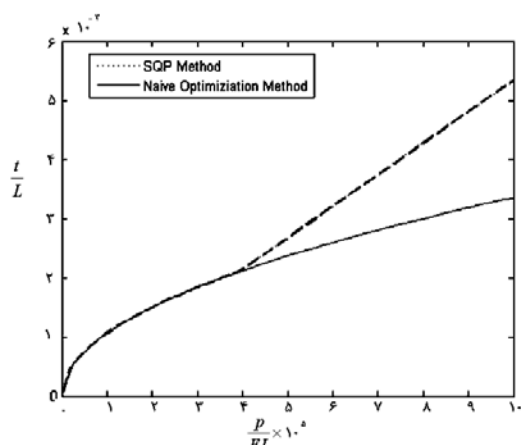
(ب) کمانش موضعی طول چهارضلعی

$$\frac{P}{EL} \times \frac{\frac{12(1-v^2)}{\pi} \times (\frac{b}{t})^2}{K_c \left(\frac{2t}{1 + \frac{b}{\lambda}} \right)} - 1 \leq 0. \quad (17-\text{ب})$$

(ج) کمانش موضعی عرض چهارضلعی

$$\frac{P}{EL} \times \frac{\frac{12(1-v^2)}{\pi} \times (\frac{\lambda}{t})^2}{K_c \left(\frac{2t}{1 + \frac{b}{\lambda}} \right)} - 1 \leq 0. \quad (17-\text{ج})$$

باید توجه داشت که نتایج ارائه شده با فرض استقلال در مودهای واماندگی حاصل شده در حالی که در حضور عیوب هندسی کوچک، ممکن است مودهای تخریب واقعاً مستقل نبوده و به آثار متقابل^۱ غیرخطی منجر شوند. در نتیجه ممکن است هندسه بهینه به درستی پیش‌بینی نشود و مهم‌تر آنکه به دلیل حساسیت ناخالصی چندحالته^۲، استحکام سازه کاهش یابد. یکی از روش‌های قابل قبول برای وارد کردن $\frac{p}{\gamma}$ تقریبی اثر مود متقابل، قرار دادن بار تقویت شده $\frac{p}{\gamma}$ به جای بار p ، در محاسبات مربوط به بهینه‌سازی است. اگر مقدار ضریب γ مقدار واقعی آن باشد، سازه باید استحکام واقعی خود را داشته و به مقدار بهینه نزدیک باشد. مطالعات کویتر^۳ و همکاران در سال ۱۹۷۶ اشاره دارد به اینکه اغلب برای اطمینان باید ≈ 0.9 در موقع مود اثر متقابل در نظر گرفته شود [۴].



شکل ۴ منحنی تغییرات \bar{t} مقطع شش‌ضلعی بر حسب بار بی‌بعد، از روش تحلیلی و روش SQP

وقتی بارگذاری به حد تنش تسلیم برسد یعنی وقتی $(\alpha \varepsilon_y) > \frac{p}{EL}$ ، منحنی وزن - بار به خط مستقیم تبدیل می‌شود. معادله این خط عبارت است از:

$$\frac{W}{\rho L'} = \frac{1}{\varepsilon_y} \times \frac{p}{EL} \quad (16)$$

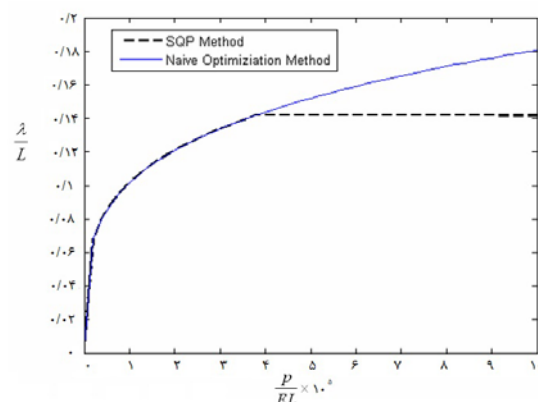
در بهینه‌سازی تحلیلی فقط از قیود کمانش سراسری و کمانش موضعی استفاده شده در حالی که در روش برنامه‌ریزی درجه دوم، علاوه بر قیود ذکر شده، قید تنش تسلیم نیز در نظر گرفته شده است. در محدوده بارگذاری $(\alpha \varepsilon_y) < \frac{p}{EL}$ تنش‌های واماندگی کمتر از تنش تسلیم و در محدوده الاستیک تغییر می‌کنند. بنابراین نتایج به دست آمده از دو روش با یکدیگر تطابق دارند. اما برای بارگذاری در محدوده $(\alpha \varepsilon_y) \geq \frac{p}{EL}$ ، بار اعمال شده در محدوده تنش تسلیم است و این در روش برنامه‌ریزی درجه دوم متولی در نظر گرفته شده است؛ در حالی که در روش تحلیلی چنین حالتی پیش‌بینی نشده. تفاوت در نمودارهای دو روش نیز به همین دلیل است. در محدوده دوم نتایج حاصل از روش عددی قابل قبول است. شکل ۴ تغییرات \bar{t} را بر حسب بار بی‌بعد، شکل ۵ تغییرات $\bar{\lambda}$ را بر حسب بار بی‌بعد، شکل ۶ تغییرات \bar{H} را بر حسب بار بی‌بعد و شکل ۷ تغییرات \bar{b} را بر حسب بار بی‌بعد نشان می‌دهد.

نتایج بهینه را می‌توان به صورت دیگری نیز ارائه کرد. در این معادله می‌توان بین تنش (با مقادیر بهینه پارامترها) و بارگذاری بی‌بعد ارتباط برقرار کرد. رابطه (۱۷) این ارتباط را نشان می‌دهد:

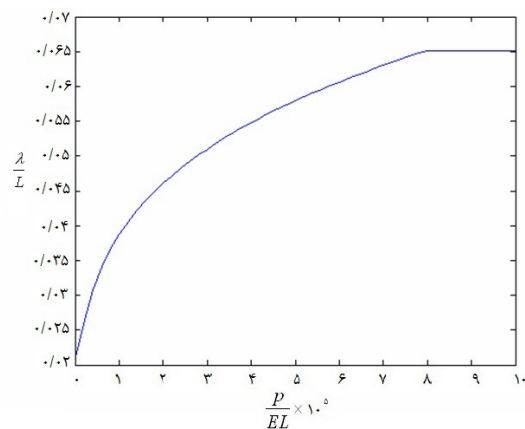
$$\frac{\sigma_{opt}}{E} = \beta \sqrt{\frac{p}{EL}} \quad , \quad \beta = \frac{1}{\alpha} \quad (17)$$

1. Interaction
2. Multi-Mode Imperfection-Sensitivity
3. Koiter

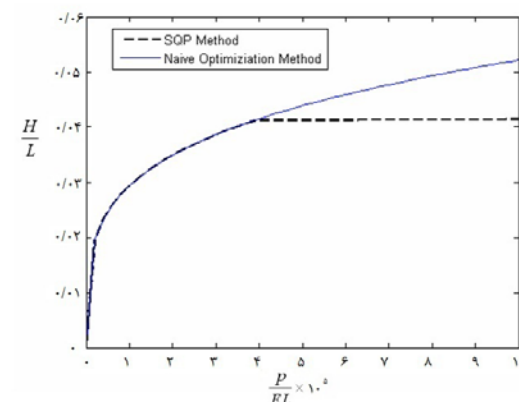
در شکل ۸ منحنی بهینه شده عرض مقطع چهار ضلعی و در شکل ۹ نمودار بهینه شده طول مقطع چهارضلعی که به روش برنامه‌ریزی درجه دوم متوالی به دست آمده، نشان داده شده است. از طرفی دیگر مقادیری که بین دو هندسه بحث شده قابل قیاس هستند، ضخامت تیغه و وزن بهینه آنها است. در شکل ۱۰ نمودار بهینه شده ضخامت تیغه و در شکل ۱۱ نمودار وزن بهینه برای دو مقطع چهارضلعی و مقطع ششضلعی آورده شده است.



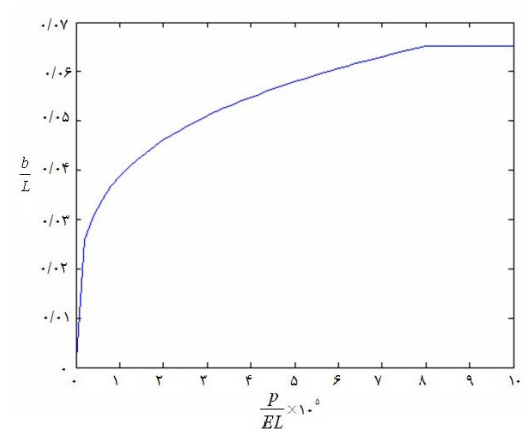
شکل ۵ منحنی تغییرات $\bar{\lambda}$ مقطع ششضلعی بر حسب بار بی‌بعد، از روش تحلیلی و روش SQP



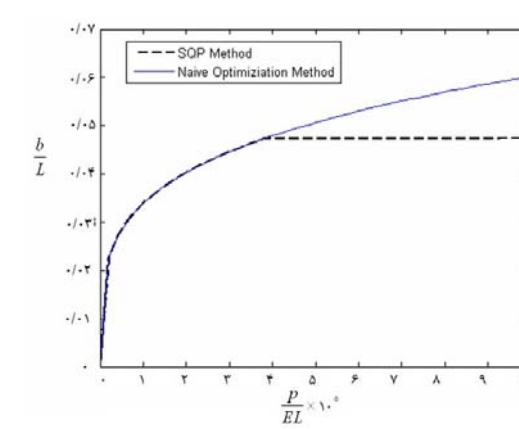
شکل ۶ منحنی تغییرات \bar{H} مقطع ششضلعی بر حسب بار بی‌بعد، از روش تحلیلی و روش SQP



شکل ۷ منحنی تغییرات \bar{b} مقطع ششضلعی بر حسب بار بی‌بعد، از روش تحلیلی و روش SQP



شکل ۸ منحنی تغییرات $\bar{\lambda}$ بر حسب بار واردہ بی‌بعد در مقطع چهارضلعی از روش PQS

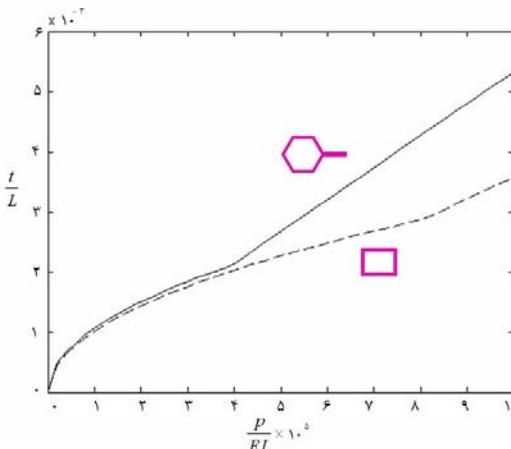


شکل ۹ منحنی تغییرات \bar{H} بر حسب بار واردہ بی‌بعد در مقطع چهارضلعی از روش SQP

و همچنین مرز تنش تسلیم برای دو نوع مقطع ذکر شده آورده شده است.

جدول ۱ ضرایب و مقادیر بهینه برای مقاطع شش‌ضلعی و چهارضلعی

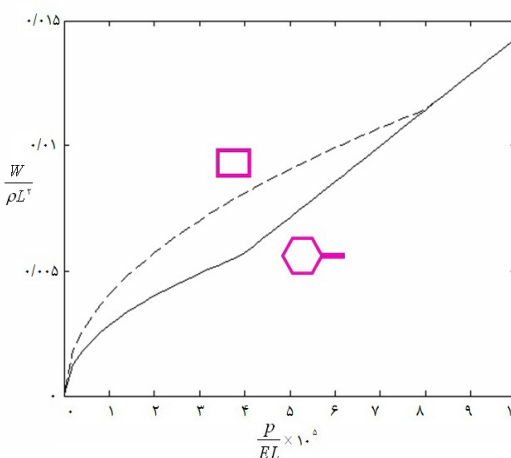
مرز تنش تسلیم $(\alpha \epsilon_y)$	ضریب β	ضریب α	مقطع هسته
$3/9 \times 10^{-5}$	۱/۱۱۸	۰/۸۹۴	شش‌ضلعی
$8/04 \times 10^{-5}$	۰/۷۸۰۸	۱/۲۸۰۷	چهارضلعی



شکل ۱۰ منحنی تغییرات \bar{t} بر حسب بار وارد شده بی‌بعد برای دو هندسه چهارضلعی و شش‌ضلعی

۶- نتیجه‌گیری

در این پژوهش، بهینه‌سازی وزن با دو روش تحلیلی و عددی (بر مبنای برنامه‌ریزی درجه دوم متواالی)، برای بارگذاری فشاری یکنواخت، انجام شده است. نتایج دو روش بهینه‌سازی تطابق بسیار خوبی دارند. یکی از امتیازهای روش تحلیلی، فرمول‌بندی ساده و مشخص برای طراحی است اگرچه فقط در محدوده بارگذاری الاستیک قابل استفاده بوده و پیچیدگی مقاطع باید به حدی باشد که پارامترهای طراحی از تعداد قیود، تجاوز نکند. اما در روش برنامه‌ریزی درجه دوم محدودیتی از نظر پیچیدگی شکل مقطع وجود ندارد و در تمام نواحی بارگذاری نیز مقادیر قابل قبولی را ارائه می‌دهد. نتایج بهینه‌سازی وزن برای دو شکل متفاوت هسته لانه زنبوری، نشانگر آن است که مقطع شش‌ضلعی نسبت به مقطع چهارضلعی بهینه‌تر است یعنی به‌ازای بارگذاری یکسان، وزن کمتری دارد. همچنین با افزایش تعداد اضلاع در مقطع نسبت استحکام به وزن هسته نیز افزایش می‌یابد.



شکل ۱۱ منحنی تغییرات وزن بهینه بی‌بعد بر حسب بار وارد شده بی‌بعد برای دو هندسه چهارضلعی و شش‌ضلعی

همان‌طور که در شکل ۱۱ نشان داده شده، وزن بهینه هسته به‌ازای بارگذاری برابر، برای مقطع شش‌ضلعی کمتر از مقطع چهارضلعی است. در عین حال ضخامت تیغه در مقطع شش‌ضلعی بیشتر از مقطع چهارضلعی است. در جدول ۱ ضریب α که ضریب ثابت در رابطه بین وزن بهینه و بارگذاری و ضریب β که ضریب ثابت بین تنش بهینه و بارگذاری است

۷- منابع

- [6] Allen, H. G, 1980, *Background to Buckling*, McGraw Hill, Press NewYork:
- [7] Timoshenko S P, Gere J M, 1961, *Theory of elastic stability*, McGraw-Hill, NewYork.
- [8] David G, Luenberger, 1989, *Linear and nonlinear programming*, Addison – Wesley.
- [9] Rao S S, 1984, *Optimization: Theory and applications*, 2nd Edition, Halsted Press NewYork.
- [۱۰] پیغامی محمدرضا، پایاننامه کارشناسی ارشد دانشگاه صنعتی شریف، ۱۳۷۸، الگوریتم دستگاه معادلات خطی متوالی برای حل مسایل بهینه‌سازی غیرخطی با قیود کلی، دانشکده ریاضی کاربردی.
- [1] Tom Bitzer, 1997, *Honeycomb Technology*, California, Chapman & Hall.
- [۲] زمانی جمال، پایاننامه دکترای دانشگاه تربیت مدرس، ۱۳۸۱، آنالیز و بررسی تحلیل و تجربی رفتار سازه‌های لانه زنبوری شکل فلزی تحت بارهای محوری ناشی از انفجار تا مرحله مچالگی کامل، دانشکده فنی و مهندسی.
- [۳] علوی‌نیا علی، پایاننامه دکترای دانشگاه تربیت مدرس، ۱۳۸۱، بررسی تأثیر پارامترهای لانه زنبوری بر روی مقاومت به نفوذ آن، دانشکده فنی و مهندسی.
- [4] Budiansky B, 1999, on the minimum weights of compression structures, *Int. J. Solids Struct.*; 36: 3677–708.
- [5] YS Tian, TJ Lu, 2005, Optimal design of compression corrugated panels, *J. Thin-Walled Structures*; 43: 477-498.